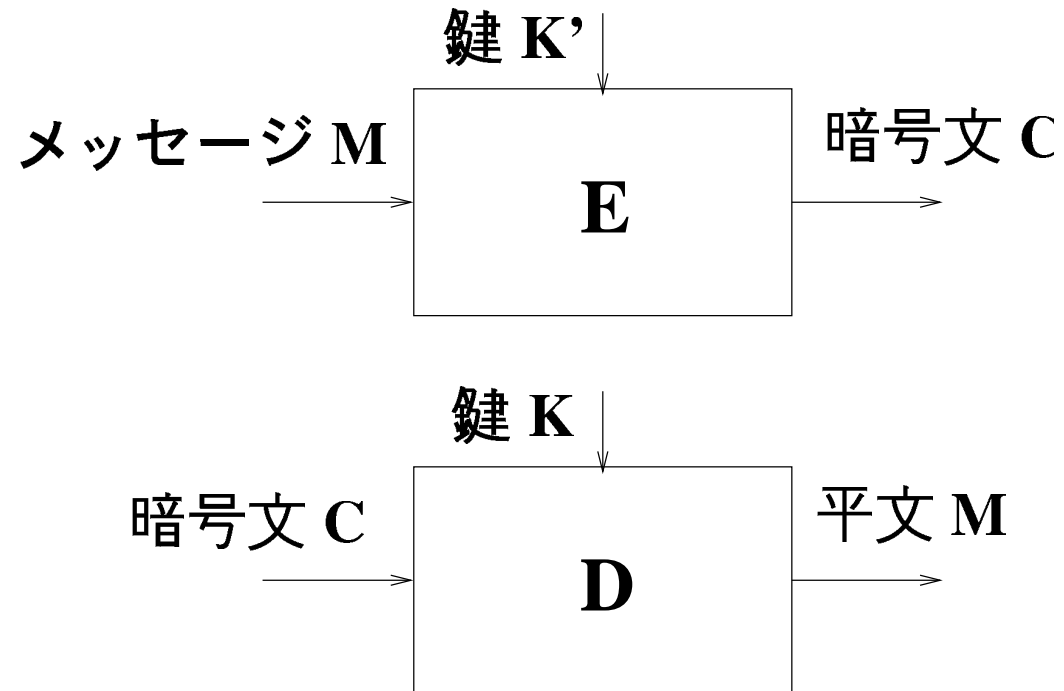


代数曲線と楕円・超楕円暗号

松尾和人

2005年4月24日

現代暗号と公開鍵暗号



- 現代暗号 : E, D は公開、 K は受信者の秘密
- 公開鍵暗号 : $K' \neq K$

公開鍵暗号の例：ElGamal暗号

● 鍵生成

1. 素数 p と $b \in \{1, \dots, p-1\}$ を適切に選択
2. $x \in \{0, \dots, p-2\}$ を選択
3. $y \equiv b^x \pmod{p}$ を計算
 - 秘密鍵： x
 - 公開鍵： (p, b, y)

● 暗号化

1. $r \in \{0, \dots, p-2\}$ を選択
2. $c_1 \equiv b^r \pmod{p}$ を計算
3. $c_2 \equiv My^r \pmod{p}$ を計算
 - 暗号文： $C = (c_1, c_2)$

● 復号

- 平文： $M \equiv c_2/c_1^x \pmod{p}$

公開鍵暗号に利用される一方向性関数

- 素因数分解 (RSA等)

- 簡単 : $p, q \mapsto n = pq$
- 困難 : $n \mapsto \{p, q\}$

- 離散対数問題 (ElGamal等)

- 簡単 : $(x, b, p) \mapsto y \equiv b^x \pmod{p}$ cf. 爽快! 2^{100} 三話
- 困難 : $(y, b, p) \mapsto x$

離散対数問題の解読コスト

- 離散対数問題の解読コストは p のサイズに依存
- 2^{80} 程度の手間はかけられないと考えられている

⇒ 2^{80} 程度の手間が必要な p のサイズは？

- Square-root 法 : $\log_2 p \approx 160$
 - 指数計算法 : $\log_2 p \approx 1024$ (?)
- 将来は？(漸近的計算量):
- Square-root 法 : $\log_2 p$ の指数関数時間
 - 指数計算法 : $\log_2 p$ の準指数関数時間

何とかならないか？ ⇒ 離散対数問題の一般化

有限体

- 有限集合で四則演算が定義されたもの
 - $\mathbb{F}_p := \{ \text{整数を素数 } p \text{ で割った余り} \}$
 - $\mathbb{F}_{p^d} := \{ \mathbb{F}_p \text{ 係数の } d \text{ 次多項式の根} \}$

$$\mathbb{F}_5 = \{0, 1, 2, 3, 4\}$$

+	0	1	2	3	4
0	0	1	2	3	4
1	1	2	3	4	0
2	2	3	4	0	1
3	3	4	0	1	2
4	4	0	1	2	3

×	0	1	2	3	4
0	0	0	0	0	0
1	0	1	2	3	4
2	0	2	4	1	3
3	0	3	1	4	2
4	0	4	3	2	1

有限可換群

- 有限集合で可換な演算が一つ定義され、単位元、逆元有り

- $+$ $\Rightarrow \mathbb{F}_p, (\mathbb{Z}, \mathbb{Q}, \mathbb{R}, \mathbb{C})$

- $+$ $\not\Rightarrow (\mathbb{N})$

- \times $\Rightarrow \mathbb{F}_p \setminus \{0\}, (\mathbb{Q} \setminus \{0\}, \mathbb{R} \setminus \{0\}, \mathbb{C} \setminus \{0\})$

- \times $\not\Rightarrow (\mathbb{Z})$

- $\mathbb{F}_p^* := \mathbb{F}_p \setminus \{0\}$

- 可換群の演算には $+$ を用いる

離散対数問題の一般化

- 離散対数問題

- p : 素数, $b \in \{1, \dots, p-1\}$, $x \in \{0, \dots, p-2\}$

- $y \equiv b^x \pmod{p}$



- (有限体の乗法群上の) 離散対数問題

- $b \in \mathbb{F}_p^*$, $x \in \{0, \dots, \#\mathbb{F}_p^* - 1\}$

- $y = b^x$



- 離散対数問題

- G : 有限可換群, $b \in G$, $x \in \{0, \dots, \#G - 1\}$

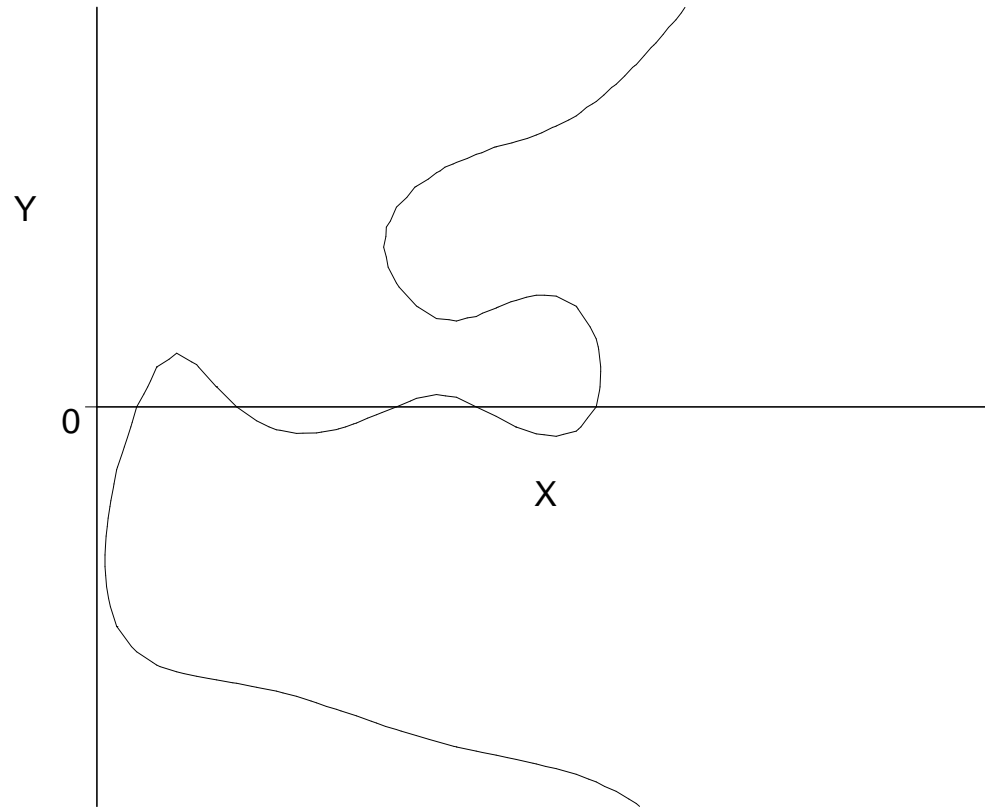
- $y = xb = \underbrace{b + b + \dots + b}_{x \text{ 個}}$

楕円・超楕円暗号

- Square-root 法は一般に適用可: $\sqrt{\#G}$
 - 有限可換群 G で指数計算法が適用できないものはあるか？
 - ⇒ 代数曲線には可換群の構造を入れられる
 - ⇒ 楕円・超楕円暗号
有限体の乗法群上の離散対数問題に基づく暗号アルゴリズムを（有限体上の）楕円曲線、超楕円曲線の群構造を利用して実現したもの
- ∴ 暗号アルゴリズム自体の研究は行なわれない

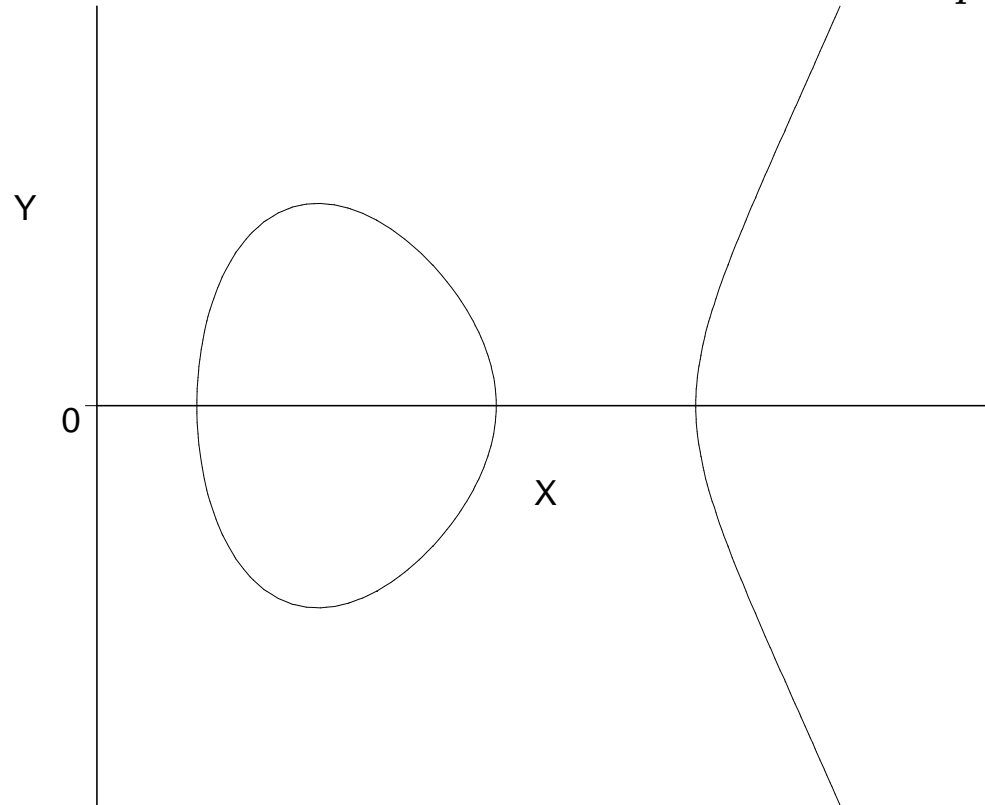
代数曲線の例

$$C : Y^4 + Y - XY^2 - X^5 + f_4X^4 + f_3X^3 + f_2X^2 + f_1X^2 + f_0 = 0, f_i \in \mathbb{F}_p$$



橢圓曲線

$$E : Y^2 = X^3 + a_4X + a_6, a_i \in \mathbb{F}_p$$



楕円曲線上の群構造

$$E : Y^2 = X^3 + a_4X + a_6, a_i \in \mathbb{F}_p$$

↓

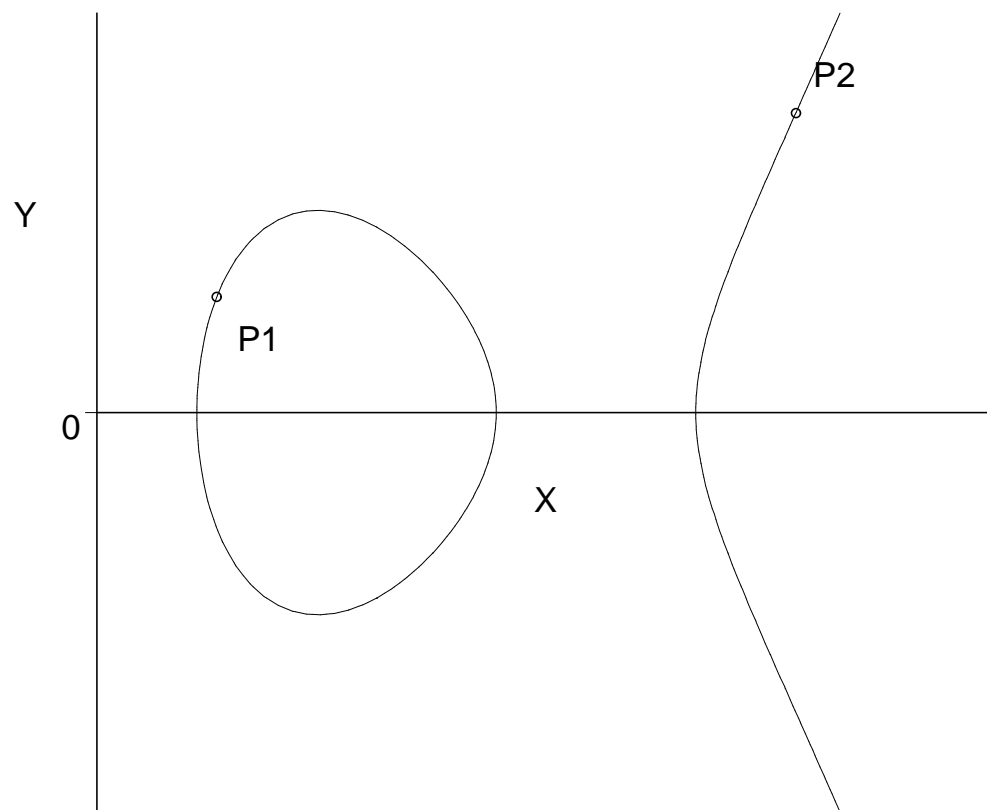
$$E(\mathbb{F}_p) := \{P = (x, y) \in \mathbb{F}_p^2 \mid y^2 = x^3 + a_4x + a_6\} \cup \{P_\infty\}$$

↓

$E(\mathbb{F}_p)$ は有限可換群

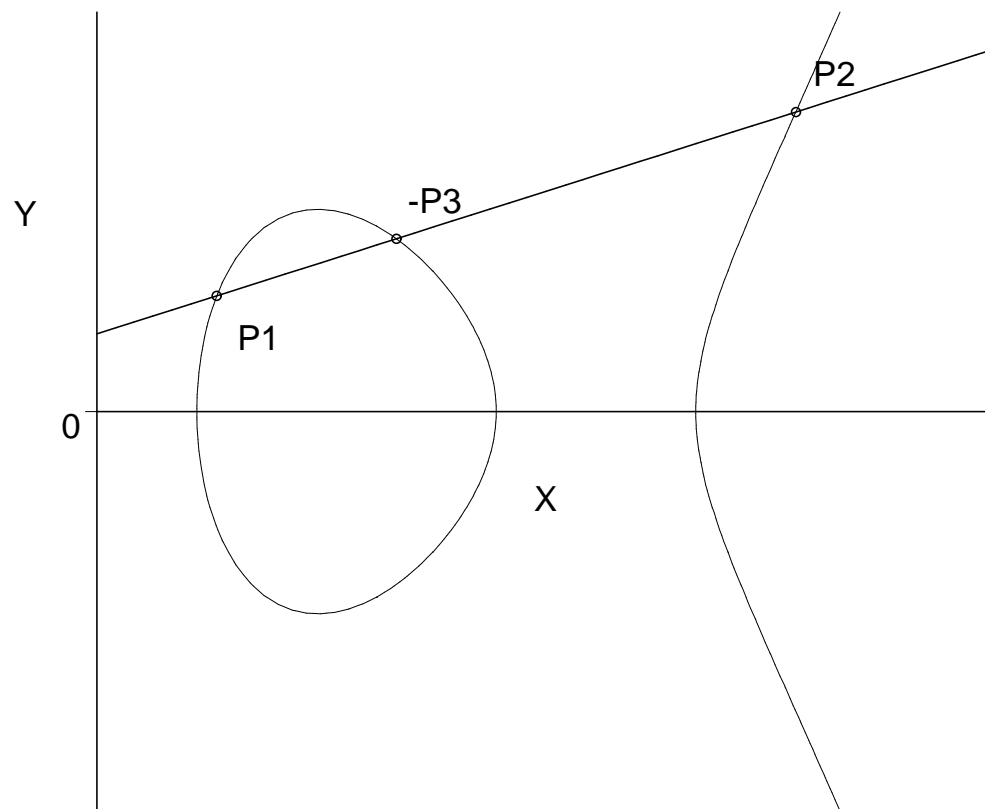
楕円曲線上の加法公式

$$P_3 = P_1 + P_2$$



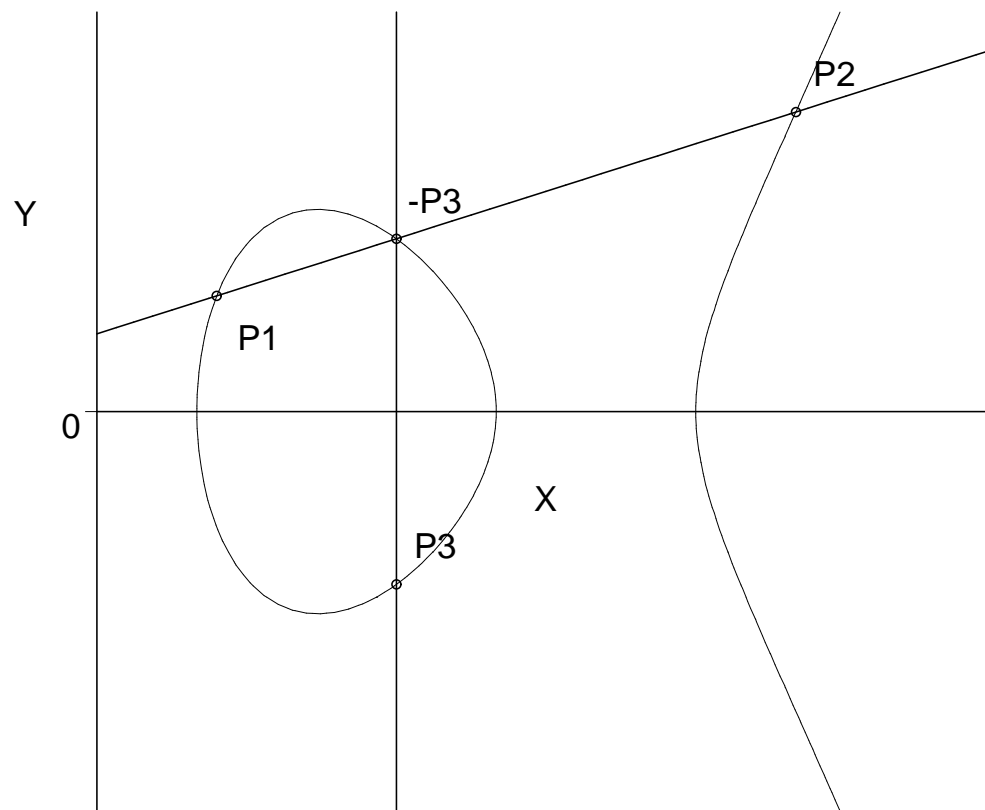
楕円曲線上の加法公式

$$P_3 = P_1 + P_2$$



楕円曲線上の加法公式

$$P_3 = P_1 + P_2$$



楕円曲線上の加法公式

$$E : Y^2 = X^3 + a_4X + a_6$$

$$P_1 = (x_1, y_1), P_2 = (x_2, y_2)$$

$$P_3 = (x_3, y_3) = P_1 + P_2$$

$$\lambda = \begin{cases} \frac{y_2 - y_1}{x_2 - x_1} & \text{if } P_1 \neq P_2 \\ \frac{3x_1^2 + a_4}{2x_1} & \text{if } P_1 = P_2 \end{cases}$$

$$x_3 = \lambda^2 - x_1 - x_2,$$

$$y_3 = \lambda(x_1 - x_3) - y_1$$

逆元計算	乗算
I	$3M$

楕円暗号の速度

- 楕円暗号の安全性

- $\#E(\mathbb{F}_p) = O(p)$

- **Square-root** 法のみ適用可

- E の適切な選択の下: $O\left(\sqrt{\#E(\mathbb{F}_p)}\right)$

- $\Rightarrow p = O(2^{160})$

- 群演算一回あたりのコスト

- 有限体の乗法群: M_{1024}

- 楕円曲線: $I_{160} + 3M_{160} = 23M_{160}$ **if** $I_{160} = 20M_{160}$

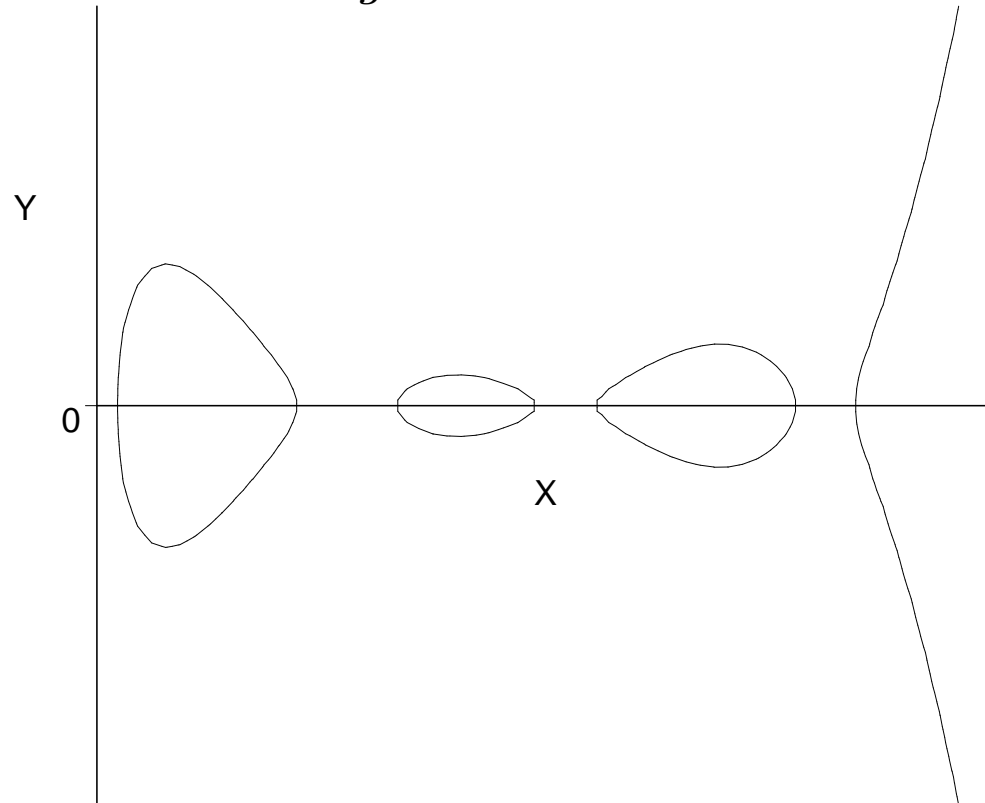
- $\Rightarrow M_{1024} > 23M_{160}$

楕円暗号の速度

	加算 (c.)	2倍算 (c.)	整数倍算	
Aoki et al. (ICICS02)	2692 1524	2528 1164	573μs 254μs	Pentium II 450MHz Alpha EV6 500MHz

種数 g の超楕円曲線

$$C : Y^2 = X^{2g+1} + f_{2g}X^{2g} + \cdots + f_1X + f_0, \quad f_i \in \mathbb{F}_p$$



超楕円曲線上の群構造

$$C : Y^2 = X^{2g+1} + f_{2g}X^{2g} + \cdots + f_1X + f_0, f_i \in \mathbb{F}_p$$

↓

$$C(\mathbb{F}_p) := \{P = (x, y) \in \mathbb{F}_p^2 \mid y^2 = x^{2g+1} + \cdots + f_0\} \cup \{P_\infty\}$$

↓

$C(\mathbb{F}_p)$ は群構造を持たない

超楕円曲線上の群構造

$$C : Y^2 = X^{2g+1} + f_{2g}X^{2g} + \cdots + f_1X + f_0, f_i \in \mathbb{F}_p$$

↓

$$J_C(\mathbb{F}_p) := \{D = \{P_1, \dots, P_n \in C(\mathbb{F}_{p^g}) \setminus \{P_\infty\}\} \mid n \leq g, D^p = D\}$$

$$C(\mathbb{F}_p) \subseteq J_C(\mathbb{F}_p)$$

↓

$J_C(\mathbb{F}_p)$ は有限可換群

Mumford表現

$$C : Y^2 = F(X), F \in \mathbb{F}_p[X], \deg F = 2g + 1$$

$$D = \{P_1, \dots, P_n \in C(\mathbb{F}_{p^g}) \setminus \{P_\infty\}\} \mid n \leq g, D^p = D, P_i = (x_i, y_i)$$

⇓

$$\exists^1 (U, V) \in (\mathbb{F}_p[X])^2 \text{ s.t. } \deg U > \deg V,$$

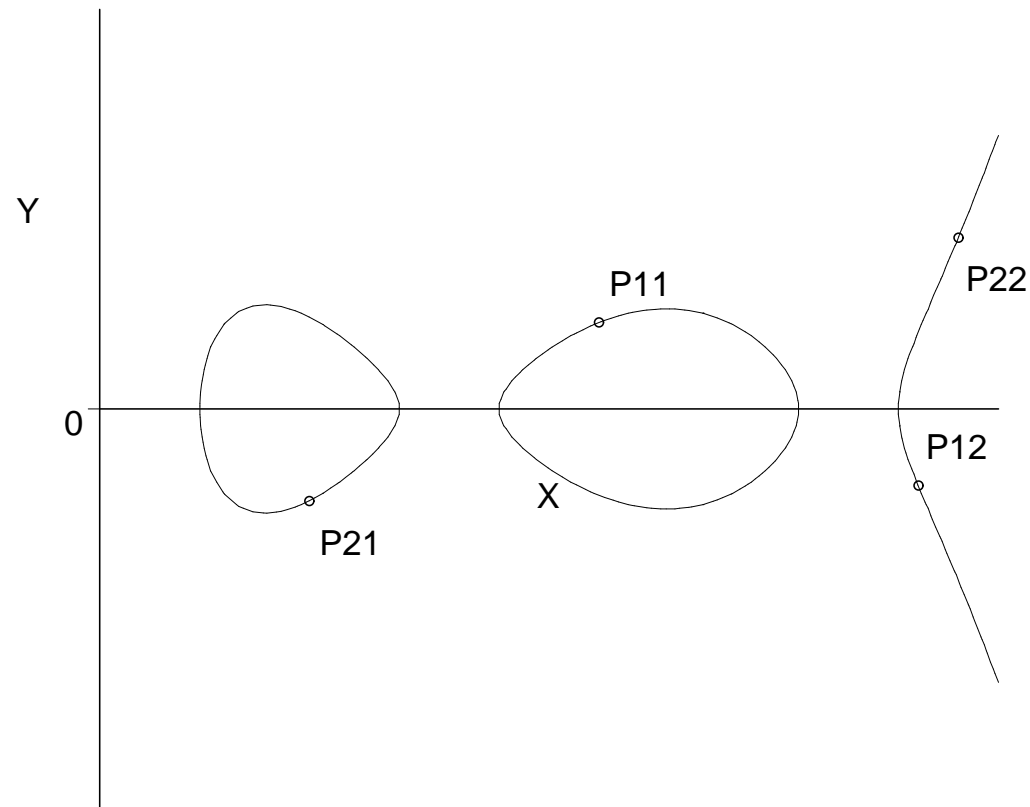
$$U = \prod_{1 \leq i \leq n} (X - x_i),$$

$$U \mid F - V^2,$$

$$y_i = V(x_i).$$

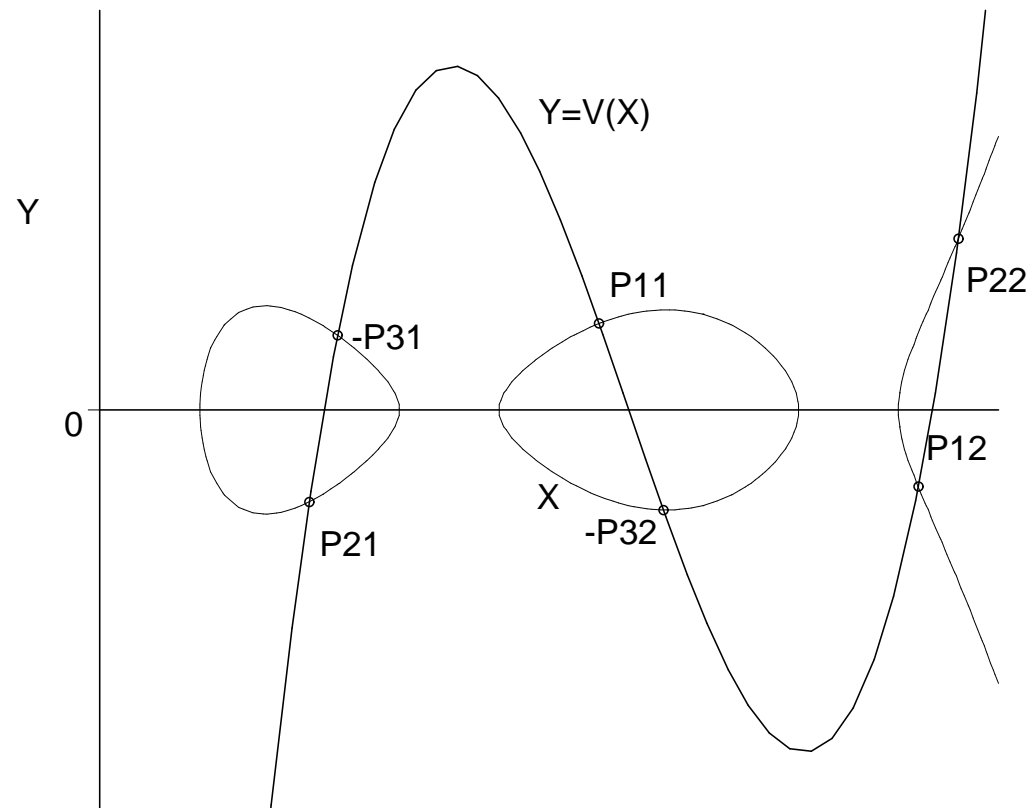
超楕円曲線上の加法公式 ($g = 2$)

$$D_3 = D_1 + D_2, \quad D_i = \{P_{i1}, P_{i2}\}$$



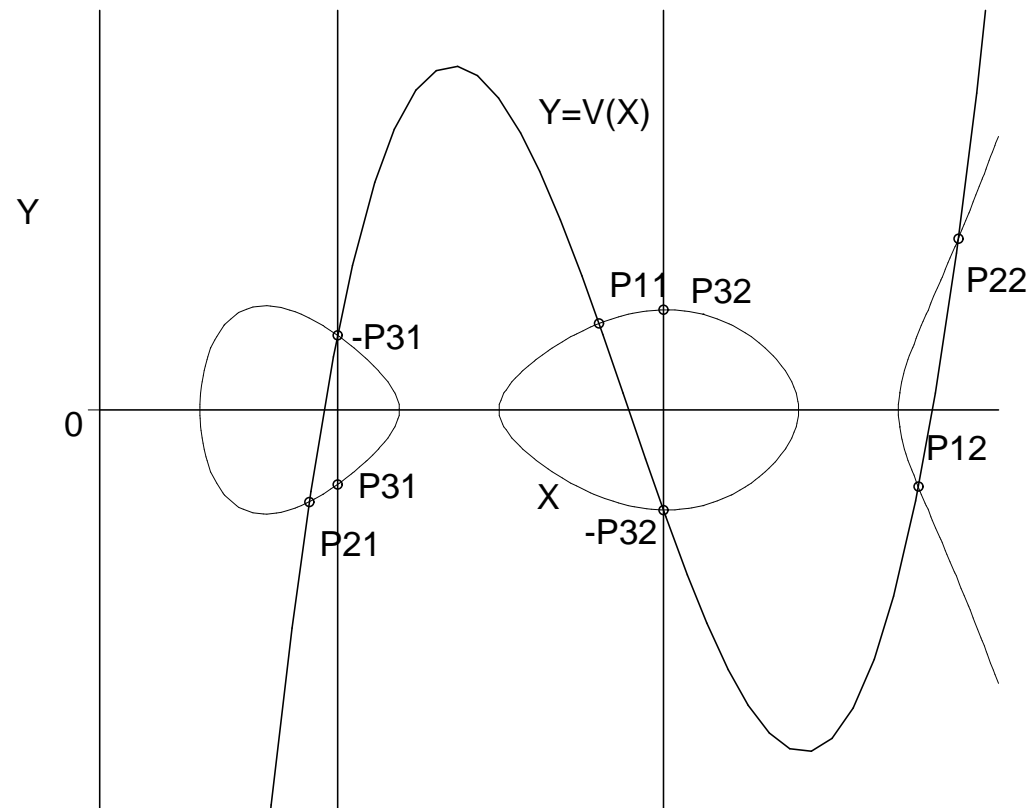
超楕円曲線上の加法公式 ($g = 2$)

$$D_3 = D_1 + D_2, \quad D_i = \{P_{i1}, P_{i2}\}$$



超楕円曲線上の加法公式 ($g = 2$)

$$D_3 = D_1 + D_2, \quad D_i = \{P_{i1}, P_{i2}\}$$



超楕円曲線上の加法公式 ($g = 2$)

Input	Weight two coprime reduced divisors $D_1 = (U_1, V_1), D_2 = (U_2, V_2)$	
Output	A weight two reduced divisor $D_3 = (U_3, V_3) = D_1 + D_2$	
Step	Procedure	Cost
1	Compute the resultant r of U_1 and U_2. $z_1 \leftarrow u_{21} - u_{11}; z_2 \leftarrow u_{21}z_1; z_3 \leftarrow z_2 + u_{10} - u_{20};$ $r \leftarrow u_{10}(z_3 - u_{20}) + u_{20}(u_{20} - u_{11}z_1);$	$4M$
2	If $r = 0$ then call the sub procedure.	—
3	Compute $I_1 \equiv 1/U_1 \pmod{U_2}$. $w_0 \leftarrow r^{-1}; i_{11} \leftarrow w_1z_1; i_{10} \leftarrow w_1z_3;$	$I + 2M$
4	Compute $S \equiv (V_2 - V_1)I_1 \pmod{U_2}$. (Karatsuba) $w_1 \leftarrow v_{20} - v_{10}; w_2 \leftarrow v_{21} - v_{11}; w_3 \leftarrow i_{10}w_1; w_4 \leftarrow i_{11}w_2;$ $s_1 \leftarrow (i_{10} + i_{11})(w_1 + w_2) - w_3 - w_4(1 + u_{21});$ $s_0 \leftarrow w_3 - u_{20}w_4;$	$5M$
5	If $s_1 = 0$ then call the sub procedure.	—
6	Compute $U_3 = s_1^{-2}((S^2U_1 + 2SV_1)/U_2 - (F - V_1^2)/(U_1U_2))$. $w_1 \leftarrow s_1^{-1};$ $u_{30} \leftarrow w_1(w_1(s_0^2 + u_{11} + u_{21} - f_4) + 2(v_{11} - s_0w_2)) + z_2 + u_{10} - u_{20};$ $u_{31} \leftarrow w_1(2s_0 - w_1) - w_2;$ $u_{32} \leftarrow 1;$	$I + 6M$
7	Compute $V_3 \equiv -(SU_1 + V_1) \pmod{U_3}$. (Karatsuba) $w_1 \leftarrow u_{30} - u_{10}; w_2 \leftarrow u_{31} - u_{11};$ $w_3 \leftarrow s_1w_2; w_4 \leftarrow s_0w_1; w_5 \leftarrow (s_1 + s_0)(w_1 + w_2) - w_3 - w_4$ $v_{30} \leftarrow w_4 - w_3u_{30} - v_{10};$ $v_{31} \leftarrow w_5 - w_3u_{31} - v_{11};$	$5M$
Total		$2I + 21M$

超楕円曲線上の加法公式 ($g = 3$)

In.	Genus 3 HEC $C: Y^2 = F(X)$, $F = X^7 + f_5X^5 + f_4X^4 + f_3X^3 + f_2X^2 + f_1X + f_0$; Reduced divisors $D_1 = (U_1, V_1)$ and $D_2 = (U_2, V_2)$, $U_1 = X^3 + u_{12}X^2 + u_{11}X + u_{10}$, $V_1 = v_{12}X^2 + v_{11}X + v_{10}$, $U_2 = X^3 + u_{22}X^2 + u_{21}X + u_{20}$, $V_2 = v_{22}X^2 + v_{21}X + v_{20}$;	
Out.	Reduced divisor $D_3 = (U_3, V_3) = D_1 + D_2$, $U_3 = X^3 + u_{32}X^2 + u_{31}X + u_{30}$, $V_3 = v_{32}X^2 + v_{31}X + v_{30}$;	
Step	Procedure	Cost
1	Compute the resultant r of U_1 and U_2 $t_1 = u_{11}u_{20} - u_{10}u_{21}$; $t_2 = u_{12}u_{20} - u_{10}u_{22}$; $t_3 = u_{20} - u_{10}$; $t_4 = u_{21} - u_{11}$; $t_5 = u_{22} - u_{12}$; $t_6 = t_4^2$; $t_7 = t_3t_4$; $t_8 = u_{12}u_{21} - u_{11}u_{22} + t_3$; $t_9 = t_3^2 - t_1t_5$; $t_{10} = t_2t_5 - t_7$; $r = t_8t_9 + t_2(t_{10} - t_7) + t_1t_6$;	$14M + 12A$
2	If $r = 0$ then call the Cantor algorithm	-
3	Compute the pseudo-inverse $I = i_2X^2 + i_1X + i_0 \equiv r/U_1 \pmod{U_2}$ $i_2 = t_5t_8 - t_6$; $i_1 = u_{22}i_2 - t_{10}$; $i_0 = u_{21}i_2 - (u_{22}t_{10} + t_9)$;	$4M + 4A$
4	Compute $S' = s_2'X^2 + s_1'X + s_0' = rS \equiv (V_2 - V_1)I \pmod{U_2}$ (Karatsuba, Toom) $t_1 = v_{10} - v_{20}$; $t_2 = v_{11} - v_{21}$; $t_3 = v_{12} - v_{22}$; $t_4 = t_2i_1$; $t_5 = t_1i_0$; $t_6 = t_3i_2$; $t_7 = u_{22}t_6$; $t_8 = t_4 + t_6 + t_7 - (t_2 + t_3)(i_1 + i_2)$; $t_9 = u_{20} + u_{22}$; $t_{10} = (t_9 + u_{21})(t_8 - t_6)$; $t_9 = (t_9 - u_{21})(t_8 + t_6)$; $s_0' = -(u_{20}t_8 + t_5)$; $s_2' = t_6 - (s_0' + t_4 + (t_1 + t_3)(i_0 + i_2) + (t_{10} + t_9)/2)$; $s_1' = t_4 + t_5 + (t_9 - t_{10})/2 - (t_7 + (t_1 + t_2)(i_0 + i_1))$;	$10M + 31A$
5	If $s_2' = 0$ then call the Cantor algorithm	-
6	Compute S , w and $w_i = 1/w$ s.t. $wS = S'/r$ and S is monic $t_1 = (rs_2')^{-1}$; $t_2 = rt_1$; $w = t_1s_2'^2$; $w_i = rt_2$; $s_0 = t_2s_0'$; $s_1 = t_2s_1'$;	$I + 7M$
7	Compute $Z = X^5 + z_4X^4 + z_3X^3 + z_2X^2 + z_1X + z_0 = SU_1$ (Toom) $t_6 = s_0 + s_1$; $t_1 = u_{10} + u_{12}$; $t_2 = t_6(t_1 + u_{11})$; $t_3 = (t_1 - u_{11})(s_0 - s_1)$; $t_4 = u_{12}s_1$; $z_0 = u_{10}s_0$; $z_1 = (t_2 - t_3)/2 - t_4$; $z_2 = (t_2 + t_3)/2 - z_0 + u_{10}$; $z_3 = u_{11} + s_0 + t_4$; $z_4 = u_{12} + s_1$;	$4M + 15A$
8	Compute $U_t = X^4 + u_{t3}X^3 + u_{t2}X^2 + u_{t1}X + u_{t0} = (S(Z + 2w_iV_1) - w_i^2((F - V_1^2)/U_1))/U_2$ (Karatsuba) $t_1 = s_0z_3$; $t_2 = (u_{22} + u_{21})(u_{t3} + u_{t2})$; $t_3 = u_{21}u_{t2}$; $t_4 = t_1 - t_3$; $u_{t3} = z_4 + s_1 - u_{22}$; $t_5 = s_1z_4 - u_{22}u_{t3}$; $u_{t2} = z_3 + s_0 + t_5 - u_{21}$; $u_{t1} = z_2 + t_6(z_4 + z_3) + w_i(2v_{12} - w_i) - (t_5 + t_2 + t_4 + u_{20})$; $u_{t0} = z_1 + t_4 + s_1z_2 + w_i(2(v_{11} + s_1v_{12}) + w_iu_{12}) - (u_{22}u_{t1} + u_{20}u_{t3})$;	$13M + 26A$
9	Compute $V_t = v_{t2}X^2 + v_{t1}X + v_{t0} \equiv wZ + V_1 \pmod{U_t}$ $t_1 = u_{t3} - z_4$; $v_{t0} = w(t_1u_{t0} + z_0) + v_{10}$; $v_{t1} = w(t_1u_{t1} + z_1 - u_{t0}) + v_{11}$; $v_{t2} = w(t_1u_{t2} + z_2 - u_{t1}) + v_{12}$; $v_{t3} = w(t_1u_{t3} + z_3 - u_{t2})$;	$8M + 11A$
10	Compute $U_3 = X^3 + u_{32}X^2 + u_{31}X + u_{30} = (F - V_t^2)/U_t$ $t_1 = 2v_{t3}$; $u_{32} = -(u_{t3} + v_{t3}^2)$; $u_{31} = f_5 - (u_{t2} + u_{32}u_{t3} + t_1v_{t2})$; $u_{30} = f_4 - (u_{t1} + v_{t2}^2 + u_{32}u_{t2} + u_{31}u_{t3} + t_1v_{t1})$;	$7M + 11A$
11	Compute $V_3 = v_{32}X^2 + v_{31}X + v_{30} \equiv V_t \pmod{U_3}$ $v_{32} = v_{t2} - u_{32}v_{t3}$; $v_{31} = v_{t1} - u_{31}v_{t3}$; $v_{30} = v_{t0} - u_{30}v_{t3}$;	$3M + 3A$
Total		$I + 70M + 113A$

超楕円暗号の速度

- 群演算一回あたりのコスト

- $g = 1 : I + 3M = 23M$ **if** $I = 20M$

- $g = 2 : I + 25M = 45M$ **if** $I = 20M$

- $g = 3 : I + 70M = 90M$ **if** $I = 20M$

- 超楕円暗号の安全性

- $\#E(\mathbb{F}_p) = O(p) \rightarrow \#J_C(\mathbb{F}_p) = O(p^g)$

- **Square-root** 法のみ適用可 (?)

- C の適切な選択の下: $O\left(\sqrt{\#J_C(\mathbb{F}_p)}\right)$

超楕円暗号の速度

- 解読に 2^{80} 程度の手間がかかる $p = 2^{160}/g$
 - $g = 1 : p \approx 2^{160}$
 - $g = 2 : p \approx 2^{80}$
 - $g = 3 : p \approx 2^{54}$
- 群演算一回あたりのコスト
 - $g = 1 : I_{160} + 3M_{160} = 23M_{160}$
 - $g = 2 : I_{80} + 25M_{80} = 45M_{80}$
 - $g = 3 : I_{54} + 70M_{54} = 90M_{54}$

$\Rightarrow 23M_{160} > 45M_{80} > 90M_{54} ???$

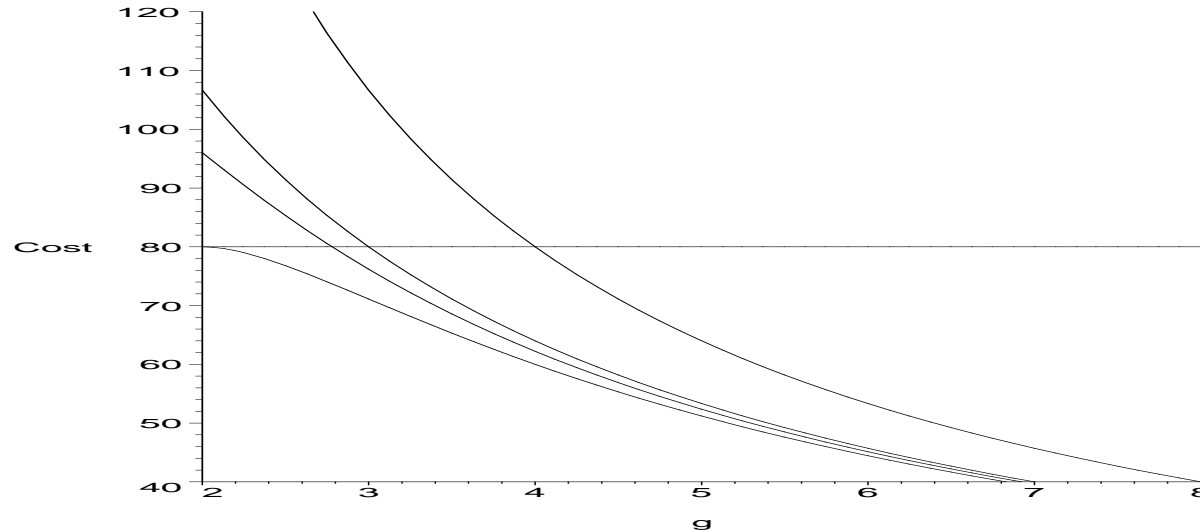
超楕円暗号の速度

	加算 (c.)	2倍算 (c.)	整数倍算	
$g = 1$ Aoki et al. (ICICS02)	2692 1524	2528 1164	$573\mu s$ $254\mu s$	Pentium II 450MHz Alpha EV6 500MHz
$g = 3$ (SCIS04)	1110	1094	$172\mu s$	Alpha EV68 1.25GHz

超楕円暗号の安全性

指数計算法が効果を持ってしまおう？
($C(\mathbb{F}_p) \subset J_C(\mathbb{F}_p)$ をFBとして用いる)

- 準指数時間計算量ではなく指数時間計算量
- g により効果が異なる



安全な楕円・超楕円曲線の構成 数学的に最も興味深い?

- $\#G$ ($\#E(\mathbb{F}_p)$, $\#J_C(\mathbb{F}_p)$) は C や E の選び方により変動する
- Square-root 法の計算量は $\#G$ の最大素因子に依存

⇒

- $\#G$ の計算アルゴリズムが必要
- $\#G$ を知れば、特殊な曲線に対する攻撃も (大体) 回避可能

楕円・超楕円曲線の位数計算

Genus	Field	Size of $\#G$	Running Time
1	\mathbb{F}_{2^d} \mathbb{F}_p	50021	36h / EV6 750MHz
		1660	10h / Opteron 2.4GHz
		3322	8d / ↑
		4983	267d / ↑
2	\mathbb{F}_{2^d}	65540	8d / EV6 750MHz
3	\mathbb{F}_{2^d}	168	69s / Athlon 1.47GHz
		480	67m / ↑

超楕円曲線の位数計算

Genus	Field	Size of $\#G$	Running Time
2	\mathbb{F}_p	127	50d / EV6 500MHz
	\mathbb{F}_{p^d}	160	21d / Athlon 1.67GHz
	\mathbb{F}_p	160	7d / EV67 667MHz
3	\mathbb{F}_p	?	

まとめ

研究課題	楕円暗号	超楕円暗号
高速化 安全性 位数計算		

まとめ

研究課題	楕円暗号	超楕円暗号
高速化 安全性 位数計算		

まとめ

研究課題	楕円暗号	超楕円暗号
高速化 安全性 位数計算		

超楕円暗号の研究は楽しい

参考文献

- [1] L. C. Washington. *Elliptic Curves: Number Theory and Cryptography*. CRC Pr., 2003.
- [2] H. Cohen, G. Frey, R. Avanzi, C. Doche, K. Nguyen, T. Lange. *Elliptic and Hyperelliptic Curve Cryptography*. Chapman & Hall, June 2005.
- [3] 松尾 和人, 有田 正剛, 趙 晋輝. 代数曲線上の公開鍵暗号. *情報処理*, 45(11):1114–1116, November 2004.
- [4] 松尾 和人, 有田 正剛, 趙 晋輝. 代数曲線暗号. *日本応用数理学会論文誌*, 13(2):231–243, June 2003.
- [5] 本 2 冊